

## 测量半导体中深中心分布的双相关技术

晏 懋 洵

(北京大学物理系)

自 1974 年 D. V. Lang<sup>[1]</sup> 提出深能级瞬态谱技术 (DLTS) 以来, DLTS 已经成为研究半导体中深能级杂质, 缺陷 (以下统称深中心) 的物理性质的广泛使用的有效手段。例如, 通过 DLTS 测量可以得到深中心的浓度、俘获截面、能级位置等。1977 年 H. Lefève 和 M. Schulz<sup>[2]</sup> 提出了双相关 DLTS 技术 (DDLTS), 采用 DDLTS 技术可以方便地测量半导体中深中心的分布。测量半导体中深中心的分布在许多问题中是很重要的。例如在研究辐射损伤产生的深中心问题中, 如果我们测得各个能级在经过不同温度退火过程后的浓度分布, 则可判明哪些能级是属于同一个深中心。又如通过测量某种深中心在不同条件下的浓度分布进而研究其运动 (或扩散) 的规律, 这对于识别深中心的性质是十分有益的。目前在双相关测量中采用的是四通道取样平均器, 即用四个 M164 和两个 M162。我们采用双通道取样平均器, 即用两个 M165 和一个 M162 同样能实现双相关测量。

### 一、基本原理

根据 DLTS 原理<sup>[1,3]</sup>, 在反向偏压为  $V_r$  的二极管上叠加一个脉冲电压, 使反向偏压减至  $V_p$ 。这时相应的耗尽区宽度从  $x(-V_r)$  减至  $x(-V_p)$ 。由于体内深中心在脉冲期间的填充和发射, 脉冲过后结电容发生瞬时变化  $\Delta C_0$ 。显然,  $\Delta C_0 \cdot \exp(-t/\tau)$ ,  $\Delta C_0$  与所填充的深中心成正比。如果在第一个脉冲之后间隔一定时间, 又叠加另一脉冲电压使反向偏压减至  $V'_p$ , 耗尽区宽度

相应地减至  $x(-V'_p)$ , 则第二个脉冲过后的电容瞬态变化是  $\Delta C'_0 \exp(-t/\tau)$ 。显然,  $\Delta C_0 - \Delta C'_0$  反映了两次脉冲重叠的区域中深中心的贡献 (见图 1)。若固定  $V_p$ ,  $V'_p$  的大小, 改变  $V_r$ , 则可使重叠区域在体内扫过。由此可以想象用一个双脉冲信号源来连续产生  $V_p$ ,  $V'_p$ , 用四通道 boxcar 对两次脉冲后的电容瞬态进行“率窗”处理, 从而确定深中心浓度分布。

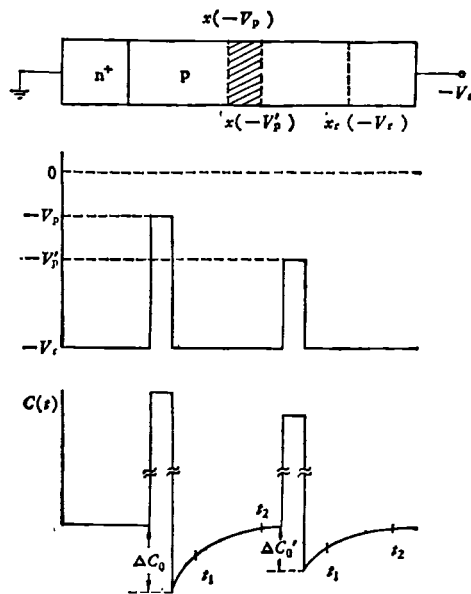


图 1 叠加在反向偏压上的双脉冲所确定的观测区及相应的电容瞬态

图 2 是含有深中心的  $p^+n$  二极管加一定反向偏置电压后的能带图。因为空间电荷区主要在  $n$  区一边, 因此只画了  $n$  区边的情况。两次脉冲后空间电荷区的变化及深中心的填充情况也标在图上。其中  $x_{tr}$  是反偏压  $V_r$  时费密

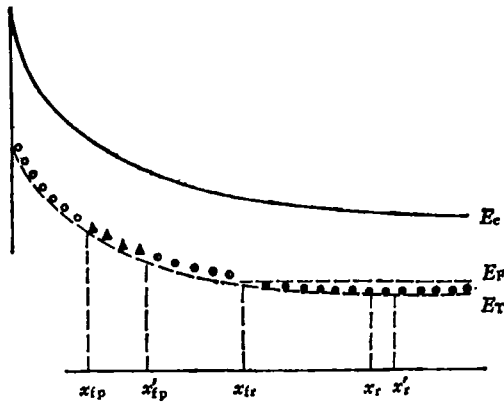


图2 p+n 二极管加一定反向偏压后的能带图

- $E_F$  以上填充的深中心;
- ▲ 观测区中被填充的深中心;
- $E_F$  以下填充的深中心;
- 未填充的深中心

能级  $E_F$  和深中心能级  $E_T$  的交点.  $x_{fp}, x'_{fp}$  分别是加脉冲  $V_p, V'_p$  之后  $E_F$  和  $E_T$  的交点.  $x_{fp}$  和  $x'_{fp}$  之间的区域就是所确定的观测区.  $x_f(t), x'_f(t)$  分别是每次脉冲之后恢复到原来反向偏压时, 由于部分深中心在脉冲期间被填充而造成的空间电荷区宽度的变化, 它是时间的函数.

根据以上分析, 求解泊松方程可得到深中心浓度公式<sup>[2]</sup>:

$$n_T(x_{fp}, x'_{fp}) = 2(\epsilon_0 \epsilon_s A)^2 N_0(x_f) \times \frac{\Delta C_0 - \Delta C'_0}{C_r^3} \cdot \frac{1}{x_{fp}^2 - x'_{fp}}, \quad (1)$$

其中  $A$  是二极管的结面积,  $\epsilon_0$  是真空中电容率,  $\epsilon_s$  是硅的介电常数,  $C_r$  是相应偏压下的结电容,  $N_0(x_f)$  是净的浅杂质浓度.

如果在第一个脉冲之后, 我们用一个双通道 boxcar 对其产生的电容瞬态在  $t_1, t_2$  时刻进行定点取样, 从它的差值输出得

$$\begin{aligned} \Delta C &= \Delta C(t_1) - \Delta C(t_2) \\ &= \Delta C_0(e^{-t_1/\tau} - e^{-t_2/\tau}). \end{aligned}$$

同样, 用另一个双通道 boxcar 对第二个脉冲后的电容瞬态在相同的延迟时间  $t_1, t_2$  取样, 得

$$\begin{aligned} \Delta C' &= \Delta C'(t_1) - \Delta C'(t_2) \\ &= \Delta C'_0(e^{-t_1/\tau} - e^{-t_2/\tau}), \end{aligned}$$

其差值信号为

$$\begin{aligned} S(x'_{fp}, x_{fp}) &= \Delta C - \Delta C' \\ &= (\Delta C_0 - \Delta C'_0)(e^{-t_1/\tau} - e^{-t_2/\tau}). \end{aligned} \quad (2)$$

它反映了观测区 ( $x_{fp}, x'_{fp}$ ) 内深中心的贡献. 如果同时对样管进行温度扫描 (在测量中一般是让样管从液氮温度到室温线性缓慢地变化), 则填充在深中心上的载流子的发射时间常数  $\tau$  也将变化, 因而双相关输出  $S$  也会变化. 对(2)式求极值, 当

$$\tau = \tau_m = (t_2 - t_1) / \ln \frac{t_2}{t_1} \quad (3)$$

时,  $S$  达到极大值  $S_m$ . 由  $S_m$  的值就可定出

$$\Delta C_0 - \Delta C'_0 = S_m / (e^{-t_1/\tau_m} - e^{-t_2/\tau_m}). \quad (4)$$

由(3)式可以看到, 双相关法所确定的“率窗”和 DLTS 所确定的“率窗”是相同的. 利用发射公式

$$e_n = \frac{1}{\tau} = \sigma_n \langle v_n \rangle N_c \frac{1}{g} e^{-\Delta E/kT}, \quad (5)$$

其中  $\sigma_n$  是电子俘获截面,  $\langle v_n \rangle$  是电子平均热运动速度,  $N_c$  是导带底能态密度,  $g$  是简并因子,  $\Delta E = E_c - E_T$ ,  $E_c$  是导带底能量. 从(2), (3), (5)式可以看到, 如果改变取样时间  $t_1$  和  $t_2$ , 则  $S$  出现极大值的温度  $T_m$  就不同. 又由于  $\langle v_n \rangle N_c$  与  $T^2$  成正比, 若假定  $\sigma_n$  与温度无关, 则  $\ln \frac{1}{\tau_m T_m^2}$  与  $\frac{1}{T_m}$  是直线关系. 由其斜率可确定深中心能级位置

$$\Delta E = E_c - E_T;$$

而由其截距可求得俘获截面.

## 二、测量装置

利用两个 M165 代替四通道 boxcar 作上述问题的双相关测量的电路连接如图 3 所示. 图 3(a) 是检测电容瞬态的高频电容电桥. 图 3(b) 是利用 boxcar 对电容瞬态作双相关处理. 图 3(c) 是 M165 的交替取样触发信号. 我们利用了 M165 具有交替取样的功能, 并将基线取样改作对瞬态电容在  $t_2$  时刻的定点取样. 这样一来, 从主机 M162 的 (A - B) 输出的就是

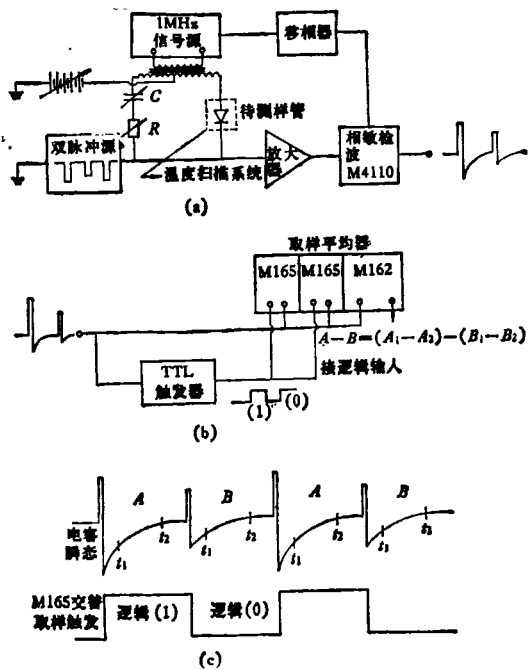


图3 用 boxcar 作双相关测量的电路图

$$S = [\Delta C(t_1) - \Delta C(t_2)] - [\Delta C'(t_1) - \Delta C'(t_2)] - (\Delta C_0 - \Delta C'_0)(e^{-t_1/\tau} - e^{-t_2/\tau}),$$

(1) 式中  $N_0(x)$  是按熟知的公式

$$N_0(x) = \frac{-1}{g e_0 e_s A^2} \cdot \frac{C^3}{dC/dV} \quad (6)$$

来计算。样管的电容-电压关系直接由  $C-V$  图示意画出, 测量电路如图 4 所示。

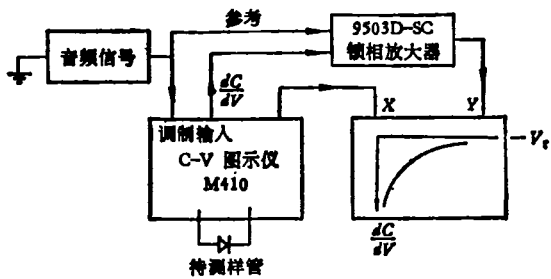


图4 浅杂质测量电路图

### 三、测量步骤及结果

根据公式(1), 要测量深中心分布  $n_T$ , 必须先测量  $N_0(x)$ ,  $(\Delta C_0 - \Delta C'_0)$ ,  $C_t$ ,  $x_{tp}$  和  $x'_{tp}$ 。为此按以下步骤进行测量:

(1) 先画出二极管的  $C-V$  关系曲线, 求得不同偏压下耗尽区宽度, 从而确定脉冲期间空间电荷区收缩的位置  $x_p$ ,  $x'_p$ 。

(2) 利用图 4 的电路和公式(6) 测量  $N_0(x)$ 。

(3) 在一组固定的脉冲  $V_p$ ,  $V'_p$  下, 对不同的偏压进行双相关 DLTS 温度扫描。由每个偏压下相关器的输出峰值  $S_m$ , 得到该偏压下所确定的观测区中深中心对电容瞬态的贡献  $(\Delta C_0 - \Delta C'_0)$ 。另外, 由

$$\ln(1/\tau_m T_m^2) \propto 1/T_m,$$

可求得深中心的能级位置  $E_T$ 。根据

$$E_F - E_T = \frac{q}{\epsilon_0 \epsilon_s} \int_{x_{tp}}^{x_p} (x_p - x) N_0(x) dx,$$

可求得边缘区宽度  $(x_p - x_{tp})$  和  $(x'_p - x'_{tp})$ 。从而确定  $x_{tp}$  和  $x'_{tp}$ , 这样就确定了每次测量的观测区  $(x_{tp}, x'_{tp})$ 。

我们测量了  $n^+p$  掺金二极管中金的分布。结果示于图 5 中。可以看到在结区附近, 金的浓度下降了几倍, 这是由于  $n^+$  区中磷对金的提取作用。另外, 当深中心浓度较高时, 用一般  $C-V$  法来测量浅杂质浓度已不适用<sup>[4]</sup>。我

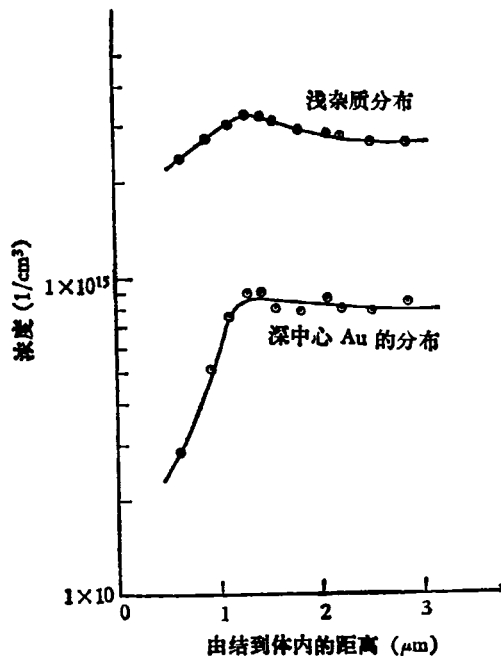


图5 浅杂质和深中心浓度分布

(下转第 409 页)